

I形鋼格子床版の疲労強度に関する研究

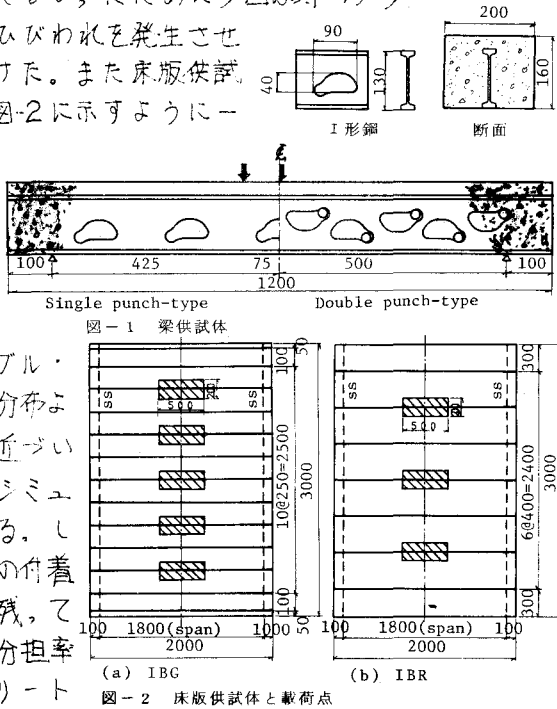
大阪大学工学部 正員 前田幸雄
大阪大学工学部 正員 松井繁之
大阪大学工学部 学生員 増田伊知郎

1.まえがき コンクリート充填鋼格子床版の主部材である小型工形鋼のウェブ開孔部において配力鉄筋はスポット溶接で連結される。この開孔部で曲げとせん断力による二次曲げが相乗し大きな応力が発生する。さらに形状による応力集中、スポット溶接による熱影響や残留応力のために疲労強度の低下が考えられ、I形鋼開孔部の疲労強度を考慮した合理的設計法を確立する必要がある。前年度ではI形鋼単体の疲労試験が行われ、I形鋼に作用する影響因子を解明し、同時に各部における応力算定式が提案された。本年度はコンクリート充填梁型供試体の実験を行いコンクリートのせん断力分担率を求めた。同時にその分担率を考慮した応力算定式を提案し、この式が実際の床版に適合するかどうかを調べるためにコンクリート充填版型供試体の実験を行った。さらに落込み部における応力でのS-N図並びに疲労強度を求めるものである。

2.供試体 実際の床版に主に使われている開孔配列、即ち図-1に示す2タイプのI形鋼を用いて梁および床版の実験を行った。前年度のコンクリート充填梁供試体の予備実験ではコンクリートにあまりひびわれが発生しなかたために今回は薄いプラスチック板を中立軸まで挿入し、強制的にひびわれを発生させ実床版の引張側コンクリートの状態に近づけた。また床版供試体では、多くのS-Nデータを得るために図-2に示すように一
体について複数箇所で拔筋試験を行った。

この場合、後の載荷板では以前の応力履歴が問題になるが、修正マイナー則によつてこれを検討したが無視してよい事が解った。

3. 実験結果 梁供試体の実験について



Yukio MAEDA, Shigeyuki MATSUI and Ichiro MASUDA

断面とI形鋼断面の断面積比により、て全せん断力が分担され、さらにI形鋼の分担せん断力を上側工断面と下側工断面の曲げ剛性比により、て分担されるものとわかる。た。これよりI形鋼開孔部下側フランジの応力算定式は次式で与えられる。

$$\sigma_{tr} = \alpha \frac{M}{I_r} y_{tr} - \beta \frac{M}{I_n} \left(\frac{A_i}{bx + A_i} \times \frac{I_n}{I_{tu} + I_n} \right) Q \cdot l$$

ここに M, Q : 着目点の梁全体の断面力, I_r, y_{tr} : 合成断面の断面二次モーメント及び中立軸から着目点までの距離 I_n, y_n : I形鋼開孔部における下側工断面の断面二次モーメント及びその断面の中立軸から着目点までの距離 bx : 合成断面の有効コンクリート断面積 A_i : I形鋼の開孔部中心断面積 I_{tu} : I形鋼開孔部における上側工断面の断面二次モーメント, l : 開孔部の下側断面の反曲点から着目点までの距離, $\alpha = \beta = 1.0$

上式に形状による応力集中係数 α, β を掛け合せると開孔ウェブ鉄筋落し込み部の応力を求めることができる。この値は前年度の結果からダブルパンチでは $\alpha=2.10, \beta=1.52$ シングルパンチでは $\alpha=2.14, \beta=2.47$ とかかっている。この値を代入しS-N図を描くと図-4.5のようになる。た。すでにせん断力の分担率を考慮してあるためこの結果はI形鋼単体のものと一致すべきである。しかし前述した様にコンクリートとウェブ間で局部的付着が残っているためI形鋼単体時のものと較べて疲労強度があがる。

版供試体についてはたわみ分布は直交異方性版理論値と一致し、た。歪についてはIBGタイプではほぼ一致するが、RC床版に構造的に近いIBRタイプでは実験値は理論値の約65%である。I形鋼方向の歪分布は、支間中央における理論値と測定値の比で修正すると任意の点でよく一致する。この修正理論値を用いて落し込み部における応力を算定しS軸にとりS-N図を描くと図-6の様になら。結果はI形鋼単体のS-N図とよく一致した。結局、IBG, IBR版供試体についても、せん断力は前述のように分配されることがわかる。た。又床版のI形鋼の疲労強度は、I形鋼単体のS-N結果により説明できることがわかった。このS-N図からコンクリート充填版型供試体の200万回強度は約2200kg/cm²と推定できる。版供試体結果に於いてはIBG, IBR, 即ちパンチ孔配列の違いによる変化はデータ不足のため明らかではない。今後も多くの疲労データを収集し、より正確なS-N図を得たいと考えている。

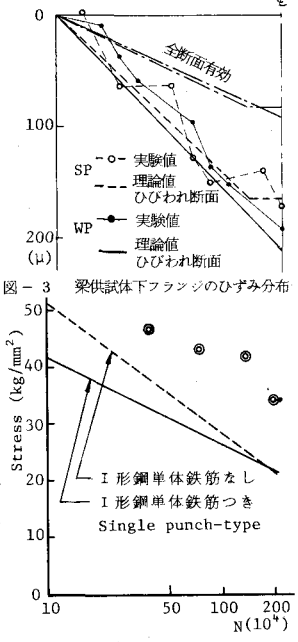
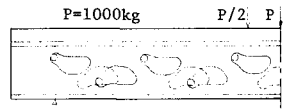


図-4 梁供試体のS-N結果

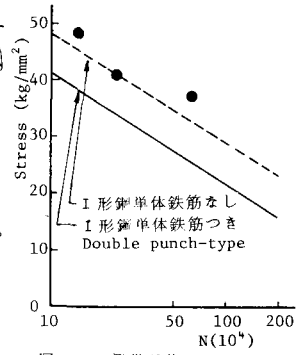


図-5 梁供試体のS-N結果

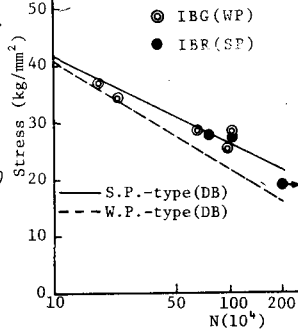


図-6 床版供試体のS-N結果